

(19)日本国特許庁(JP)

(12)特許公報(B2)

(11)特許番号
特許第7405157号
(P7405157)

(45)発行日 令和5年12月26日(2023.12.26)

(24)登録日 令和5年12月18日(2023.12.18)

(51)国際特許分類 F I
G 0 9 C 1/00 (2006.01) G 0 9 C 1/00 6 5 0 Z

請求項の数 12 (全13頁)

(21)出願番号	特願2021-572125(P2021-572125)	(73)特許権者	000004226 日本電信電話株式会社 東京都千代田区大手町一丁目5番1号
(86)(22)出願日	令和2年1月20日(2020.1.20)	(74)代理人	100121706 弁理士 中尾 直樹
(86)国際出願番号	PCT/JP2020/001680	(74)代理人	100128705 弁理士 中村 幸雄
(87)国際公開番号	WO2021/149103	(74)代理人	100147773 弁理士 義村 宗洋
(87)国際公開日	令和3年7月29日(2021.7.29)	(72)発明者	五十嵐 大 東京都千代田区大手町一丁目5番1号 日本電信電話株式会社内
審査請求日	令和4年6月23日(2022.6.23)	審査官	青木 重徳

最終頁に続く

(54)【発明の名称】 秘密計算装置、秘密計算方法、およびプログラム

(57)【特許請求の範囲】

【請求項1】

x が実数であり、 $[\mu]$ が μ の秘密分散値であり、 n が1以上の整数であり、 $t=0, \dots, n-1$ であり、 $u=1, \dots, n-1$ であり、 $f_t(x)$ が前記実数 x に対する関数であり、 $f'_t(x)$ は前記関数 $f_t(x)$ の近似関数であり、近似関数 $f'_0(x)$ の秘密分散値 $[f'_0(x)]$ が $[f'_0(x)] = c_{0,0} + c_{0,1}[x]$ であり、近似関数 $f'_u(x)$ の秘密分散値 $[f'_u(x)]$ が $[f'_u(x)] = c_{u,0} + c_{u,1}[x] + c_{u,2}[f_0(x)] + \dots + c_{u,u+1}[f_{u-1}(x)]$ であり、 $c_{t,0}$ は公開値であり、 $c_{t,1}, \dots, c_{t,n+1}$ は係数であり、

前記実数 x の秘密分散値 $[x]$ を用いた秘密計算によって $f_t(x) - f'_t(x)$ の秘密分散値 $[f_t(x) - f'_t(x)]$ を得る第1秘密計算部と、

前記秘密分散値 $[f_t(x) - f'_t(x)]$ を用いた秘密計算によって $f_t(x) - f'_t(x)$ を所定ビット数だけ右シフトした $(f_t(x) - f'_t(x))_r$ の秘密分散値 $[f_t(x) - f'_t(x)]_r$ を得る第2秘密計算部と、を有する秘密計算装置。

10

【請求項2】

請求項1の秘密計算装置であって、

前記秘密分散値 $[f_t(x) - f'_t(x)]_r$ と前記秘密分散値 $[f'_t(x)]$ を用いた秘密計算によって前記関数 $f_t(x)$ の秘密分散値 $[f_t(x)]$ を得る第3秘密計算部をさらに有する秘密計算装置。

【請求項3】

請求項1または2の秘密計算装置であって、

前記第1秘密計算部は、前記秘密分散値 $[x]$ を用いた積和演算の秘密計算によって前記秘密分散値 $[f_t(x) - f'_t(x)]$ を得る秘密計算装置。

20

【請求項 4】

請求項 2 の秘密計算装置であって、
n が 2 以上の整数であり、

t=0, ..., n-2 について、前記第 1 秘密計算部と前記第 2 秘密計算部と前記第 3 秘密計算部の処理を実行するたびに、t+1 を新たな t として、前記第 1 秘密計算部と前記第 2 秘密計算部と前記第 3 秘密計算部の処理を再び実行し、秘密分散値 $[f_{n-1}(x)]$ を得る秘密計算装置。

【請求項 5】

請求項 2 の秘密計算装置であって、
n=3 であり、

a, b, c, d, f, g, h, i, j, k, s, m, n, o, p, q, , , , , が実数であり、

$f_0(x)=y= x^2+ax$ であり、

$f_1(x)=z=y(y+b)+cx$ であり、

$f_2(x)=w= (z(z+d)+y(x+f)+gx)$ であり、

$f'_0(x)=ix+j$ であり、

$f'_1(x)=ky+sx+m$ であり、

$f'_2(x)=nz+oy+px+q$ である、秘密計算装置。

10

【請求項 6】

請求項 5 の秘密計算装置であって、

前記第 1 秘密計算部は、前記秘密分散値 $[x]$ を用いた積和演算の秘密計算によって秘密分散値 $[f_0(x)-f'_0(x)]=[y']=[x(x+a-i)-j]$ を得、

20

前記第 2 秘密計算部は、前記秘密分散値 $[y']$ を用いた秘密計算によって y' を所定ビット数だけ右シフトした y'_i の秘密分散値 $[y'_i]$ を得、

前記第 3 秘密計算部は、前記秘密分散値 $[y'_i]$ と前記秘密分散値 $[f'_0(x)]=[ix+j]$ を用いた秘密計算によって秘密分散値 $[y]=[y'_i+(ix+j)]$ を得、

前記第 1 秘密計算部は、前記秘密分散値 $[x]$ および前記秘密分散値 $[y]$ を用いた積和演算の秘密計算によって秘密分散値 $[f_1(x)-f'_1(x)]=[z']=[y(y+b-k)+(c-s)x-m]$ を得、

前記第 2 秘密計算部は、前記秘密分散値 $[z']$ を用いた秘密計算によって z' を所定ビット数だけ右シフトした z'_i の秘密分散値 $[z'_i]$ を得、

前記第 3 秘密計算部は、前記秘密分散値 $[z'_i]$ と前記秘密分散値 $[f'_1(x)]=[ky+sx+m]$ を用いた秘密計算によって秘密分散値 $[y]=[z'_i+(ky+sx+m)]$ を得、

30

前記第 1 秘密計算部は、前記秘密分散値 $[x]$ 、前記秘密分散値 $[y]$ 、および前記秘密分散値 $[z]$ を用いた積和演算の秘密計算によって秘密分散値 $[w'/]=[z(z+d-n/)+(x+f-o/)y+(g-p)x+(h-q)/]$ を得、

前記第 2 秘密計算部は、前記秘密分散値 $[w'/]$ を用いた秘密計算によって $w'/$ に乗算して得られる w'_i を所定ビット数だけ右シフトした w'_i の秘密分散値 $[w'_i]$ を得、

前記第 3 秘密計算部は、前記秘密分散値 $[w'_i]$ と前記秘密分散値 $[f'_2(x)]=[nz+oy+px+q]$ を用いた秘密計算によって秘密分散値 $[w]=[w'_i+(nz+oy+px+q)]$ を得る秘密計算装置。

【請求項 7】

請求項 6 の秘密計算装置であって、

が正整数であり、

前記第 2 秘密計算部は、公開値 $2 /$ を得、前記公開値 $2 /$ と前記秘密分散値 $[w'/]$ を用いた公開値除算の秘密計算 $[w'/]/(2 /)$ によって前記秘密分散値 $[w']$ を得る秘密計算装置。

40

【請求項 8】

請求項 2 の秘密計算装置であって、

n=2 であり、

a, b, c, , , i, j, k, s, m が実数であり、

$f_0(x)=y= x^2+ax$ であり、

50

$f_1(x)=z=(y(y+b)+cx)$ であり、
 $f'_0(x)=ix+j$ であり、
 $f'_1(x)=ky+sx+m$ である、秘密計算装置。

【請求項 9】

請求項 8 の秘密計算装置であって、

前記第 1 秘密計算部は、前記秘密分散値 $[x]$ を用いた積和演算の秘密計算によって秘密分散値 $[f_0(x)-f'_0(x)]=[y']=[x(x+a-i)-j]$ を得、

前記第 2 秘密計算部は、前記秘密分散値 $[y']$ を用いた秘密計算によって y' を所定ビット数だけ右シフトした y'_i の秘密分散値 $[y'_i]$ を得、

前記第 3 秘密計算部は、前記秘密分散値 $[y'_i]$ と前記秘密分散値 $[f'_0(x)]=[ix+j]$ を用いた秘密計算によって秘密分散値 $[y]=[y'_i+(ix+j)]$ を得、

前記第 1 秘密計算部は、前記秘密分散値 $[x]$ と前記秘密分散値 $[y]$ を用いた積和演算の秘密計算によって秘密分散値 $[z']=[y(y+b-k/2)+(c-s/2)x-m/2]$ を得、

前記第 2 秘密計算部は、前記秘密分散値 $[z']$ を用いた秘密計算によって z' に乗算して得られる z'_i を所定ビット数だけ右シフトした z'_i の秘密分散値 $[z'_i]$ を得、

前記第 3 秘密計算部は、前記秘密分散値 $[z'_i]$ と前記秘密分散値 $[f'_1(x)]=[ky+sx+m]$ を用いた秘密計算によって秘密分散値 $[z]=[z'_i+(ky+sx+m)]$ を得る、秘密計算装置。

【請求項 10】

請求項 9 の秘密計算装置であって、

n が正整数であり、

前記第 2 秘密計算部は、公開値 2^n を得、前記公開値 2^n と前記秘密分散値 $[z']$ を用いた公開値除算の秘密計算 $[z']/(2^n)$ によって前記秘密分散値 $[z']$ を得る秘密計算装置。

【請求項 11】

x が実数であり、 $[a]$ が a の秘密分散値であり、 n が 1 以上の整数であり、 $t=0, \dots, n-1$ であり、 $u=1, \dots, n-1$ であり、 $F_t(x)$ が前記実数 x に対する関数であり、 $f'_t(x)$ は前記関数 $f_t(x)$ の近似関数であり、近似関数 $f'_0(x)$ の秘密分散値 $[f'_0(x)]$ が $[f'_0(x)]=c_{0,0}+c_{0,1}[x]$ であり、近似関数 $f'_u(x)$ の秘密分散値 $[f'_u(x)]$ が $[f'_u(x)]=c_{u,0}+c_{u,1}[x]+c_{u,2}[f_0(x)]+\dots+c_{u,u+1}[f_{u-1}(x)]$ であり、 $c_{t,0}$ は公開値であり、 $c_{t,1}, \dots, c_{t,n+1}$ は係数であり、

第 1 秘密計算部で、前記実数 x の秘密分散値 $[x]$ を用いた秘密計算によって $f_t(x)-f'_t(x)$ の秘密分散値 $[f_t(x)-f'_t(x)]$ を得る第 1 秘密計算ステップと、

第 2 秘密計算部で、前記秘密分散値 $[f_t(x)-f'_t(x)]$ を用いた秘密計算によって $f_t(x)-f'_t(x)$ を所定ビット数だけ右シフトした $(f_t(x)-f'_t(x))_r$ の秘密分散値 $[f_t(x)-f'_t(x)]_r$ を得る第 2 秘密計算ステップと、
 を有する秘密計算方法。

【請求項 12】

請求項 1 から 10 の何れかの秘密計算装置としてコンピュータを機能させるためのプログラム。

【発明の詳細な説明】

【技術分野】

【0001】

本発明は、秘密計算に関する。

【背景技術】

【0002】

近年、秘密計算による高度な統計や機械学習の研究が盛んになってきている。しかしこれらの演算のほとんどは秘密計算で得意な加減乗算を超える、逆数、平方根、指数、対数などの初等関数群の計算を含んでいる。これらは秘密計算の応用研究を花開かせる観点で極めて大きな障害である。これに対し、非特許文献 1 では、逆数、除数秘匿除算、平方根とその逆数、指数などの計算方法を提示している。

【先行技術文献】

10

20

30

40

50

【非特許文献】

【0003】

【文献】五十嵐大, “秘密計算AIの実装に向けた秘密実数演算群の設計と実装- $O(|p|)$ ビット通信量 $O(1)$ ラウンドの実数向け右シフト,” In CSS2019, 2019.

【発明の概要】

【発明が解決しようとする課題】

【0004】

しかしながら、秘密計算によって右シフトや公開値による除算を行う場合に、オーバーフローによって正しく計算ができなくなってしまう場合がある。一方、オーバーフローを防ぐために右シフトを行って小数領域へのビット割り当てを減らして整数領域へのビット割り当てを増やしたのでは精度が低下する。

10

【0005】

本発明はこのような点に鑑みてなされたものであり、高い精度を保ちつつ、オーバーフローを抑制する秘密計算技術を提供する。

【課題を解決するための手段】

【0006】

x が実数であり、 $[\mu]$ が μ の秘密分散値であり、 n が1以上の整数であり、 $t=0, \dots, n-1$ であり、 $u=1, \dots, n-1$ であり、 $f_t(x)$ が前記実数 x に対する関数であり、 $f'_t(x)$ は関数 $f_t(x)$ の近似関数であり、近似関数 $f'_0(x)$ の秘密分散値 $[f'_0(x)]$ が $[f'_0(x)] = c_{0,0} + c_{0,1}[x]$ であり、近似関数 $f'_u(x)$ の秘密分散値 $[f'_u(x)]$ が $[f'_u(x)] = c_{u,0} + c_{u,1}[x] + c_{u,2}[f_0(x)] + \dots + c_{u,u+1}[f_{u-1}(x)]$ であり、 $c_{t,0}$ は公開値であり、 $c_{t,1}, \dots, c_{t,n+1}$ は係数であるとする。本発明では、実数 x の秘密分散値 $[x]$ を用いた秘密計算によって $f_t(x) - f'_t(x)$ の秘密分散値 $[f_t(x) - f'_t(x)]$ を得、秘密分散値 $[f_t(x) - f'_t(x)]$ を用いた秘密計算によって $f_t(x) - f'_t(x)$ を所定ビット数だけ右シフトした $(f_t(x) - f'_t(x))_r$ の秘密分散値 $[f_t(x) - f'_t(x)]_r$ を得る。

20

【発明の効果】

【0007】

本発明では、高い精度を保ちつつ、オーバーフローを抑制することができる。

【図面の簡単な説明】

【0008】

【図1】図1は実施形態の秘密計算装置を例示したブロックである。

30

【図2】図2は第1実施形態の処理を説明するためのフロー図である。

【図3】図3は第2実施形態の処理を説明するためのフロー図である。

【図4】図4は第3実施形態の処理を説明するためのフロー図である。

【図5】図5は各初等関数に関する計算済みのパラメータを例示した表である。

【図6】図6はハードウェア構成を説明するためのブロック図である。

【発明を実施するための形態】

【0009】

以下、図面を参照して本発明の実施の形態を説明する。

近年、秘密計算による高度な統計や機械学習の研究が盛んになってきている。しかしこれらの演算のほとんどは秘密計算の得意な加減乗算を超える、逆数、平方根、指数、対数などの初等関数計算を含んでいる。初等関数等の基礎的な関数の関数近似法にはTaylor展開などがある。Taylor展開などは多項式であり、任意の関数を多項式で近似することで、秘密計算の得意な加減乗算を用いて当該関数の近似計算を行うことができる。

40

【0010】

以下の実施形態では、任意の関数を多項式関数 $f_t(x)$ で近似し、さらに右シフト前の関数 $f_t(x)$ と当該関数 $f_t(x)$ の近似関数 $f'_u(x)$ との差分 $f_t(x) - f'_t(x)$ の秘密分散値 $[f_t(x) - f'_t(x)]$ を計算し、 $f_t(x) - f'_t(x)$ を右シフトした $(f_t(x) - f'_t(x))_r$ の秘密分散値 $[f_t(x) - f'_t(x)]_r$ を得、秘密分散値 $[f_t(x) - f'_t(x)]_r$ と秘密分散値 $[f'_t(x)]$ の秘密計算によって $f_t(x) - f'_t(x)$ に $f'_t(x)$ を加算した関数 $f_t(x)$ の秘密分散値 $[f_t(x)]$ を得る。ただし、 x が実数であり、 $[\mu]$ が μ の秘密分散値であり、 n が1以上の整数（例えば、 n は2以上の整数）であり、 $t=0, \dots, n-1$

50

であり、 $u=1, \dots, n-1$ であり、 $f_t(x)$ が実数 x に対する関数であり、 $f'_t(x)$ は関数 $f_t(x)$ の近似関数であり、近似関数 $f'_0(x)$ の秘密分散値 $[f'_0(x)]$ が $[f'_0(x)] = c_{0,0} + c_{0,1}[x]$ であり、近似関数 $f'_u(x)$ の秘密分散値 $[f'_u(x)]$ が $[f'_u(x)] = c_{u,0} + c_{u,1}[x] + c_{u,2}[f_0(x)] + \dots + [f_{u-1}(x)]$ であり、 $c_{t,0}$ は公開値であり、 $c_{t,1}, \dots, c_{t,n+1}$ は係数である。ただし、 $c_{t,1}, \dots, c_{t,n+1}$ は有効ビット数の小さな値であり、 $c_{t,1}, \dots, c_{t,n+1}$ が乗じられても桁あふれによってシフトが必要になるようなことがない値である。 $f_t(x) - f'_t(x)$ は正である。また環上の整数に公開の小数点位置を定めることで固定小数点の実数と見なすことができる。実施形態ではこのようにして環上で表した固定小数点の実数を単に実数と表記する。秘密分散方式に限定はなく、例えば、加法的秘密分散方式やシャミア秘密分散方式などを例示できる。 $[\mu]$ の一例は剰余環上の要素 μ を線形秘密分散した秘密分散値(シェア)である。

10

【0011】

ここで $f_t(x) - f'_t(x)$ の大きさは $f_t(x)$ の大きさよりも小さいため、秘密分散値 $[f_t(x) - f'_t(x)]$ のオーバーフローを抑制することができる。また右シフト前の関数 $f_t(x)$ と当該関数 $f_t(x)$ の近似関数 $f'_u(x)$ との差分 $f_t(x) - f'_t(x)$ の秘密分散値 $[f_t(x) - f'_t(x)]$ を計算するため、高い精度を保つことができる。オーバーフローは秘密計算を実装したプロセッサの性能に基づく問題であり、本方式はこのハードウェア上の制約に基づく問題を解決するための手法を提供する。このように、本方式は純粋数学上の問題を解決するものではなく、ハードウェア実装上の問題を解決するものであって技術的特徴を有するものである。例えば、秘密分散値 $[f_t(x)]$ を計算するとオーバーフローしてしまうが秘密分散値 $[f_t(x) - f'_t(x)]$ の計算ではオーバーフローしないプロセッサではその技術的特徴は顕著である。

20

【0012】

以下に各実施形態を説明する。

〔第1実施形態〕

図1に例示するように、第1実施形態の秘密計算装置1は、秘密計算部11, 12, 13、および制御部19を有する。本実施形態の秘密計算装置1は、実数 x の秘密分散値 $[x]$ $[L, R)$ を入力とし、秘密計算を行って目的の関数 $f_{n-1}(x)$ の秘密分散値 $[f_{n-1}(x)]$ を出力する。なお、 L, R は $L < R$ を満たす実数であり、 $[L, R)$ は L 以上 R 未満の左閉右开区間を表す。関数 $f_{n-1}(x)$ の例は初等関数を近似する多項式である。 $f_{n-1}(x)$ を得る過程で表れる関数を $f_0(x), \dots, f_{n-2}(x)$ と表記する。以下、図2を用いて詳細に説明する。

【0013】

図2に例示するように、まず秘密計算装置1の秘密計算部11に秘密分散値 $[x]$ が入力される(ステップS10)。次に制御部19は $t=0$ に初期化する(ステップS19a)。

30

【0014】

秘密計算部11は、少なくとも秘密分散値 $[x]$ を用い、積和の秘密計算によって関数 $f_t(x)$ と当該関数 $f_t(x)$ の近似関数 $f'_u(x)$ との差分 $f_t(x) - f'_t(x)$ の秘密分散値 $[f_t(x) - f'_t(x)]$ を得て出力する。ただし、 $[f'_0(x)] = c_{0,0} + c_{0,1}[x]$ であり、 $u=1, \dots, n-1$ について $[f'_u(x)] = c_{u,0} + c_{u,1}[x] + c_{u,2}[f_0(x)] + \dots + [f_{u-1}(x)]$ である。例えば、 $t=0$ のときには、秘密計算部11は秘密分散値 $[x]$ と関数 $f_0(x)$ と $c_{0,0}, c_{0,1}$ を用いて秘密分散値 $[f_0(x) - f'_0(x)]$ を得る。 $t=1, \dots, n-1$ のときには、秘密計算部11は秘密分散値 $[x]$ と $[f_0(x)], \dots, [f_t(x)]$ と $c_{0,0}, c_{0,1}, \dots, c_{0,t+1}$ と用いて秘密分散値 $[f_t(x) - f'_t(x)]$ を得る(ステップS11)。

40

【0015】

秘密分散値 $[f_t(x) - f'_t(x)]$ は秘密計算部12に入力される。秘密計算部12は、秘密分散値 $[f_t(x) - f'_t(x)]$ を用いた秘密計算によって $f_t(x) - f'_t(x)$ を所定ビット数だけ右シフトした $(f_t(x) - f'_t(x))_r$ の秘密分散値 $[f_t(x) - f'_t(x)]_r$ を得て出力する。右シフトの秘密計算は除算の秘密演算によって実現でできる。これによって $f_t(x) - f'_t(x)$ の小数点位置を所定の桁まで下げる。この小数点位置は予め定められている(ステップS12)。

【0016】

秘密分散値 $[f_t(x) - f'_t(x)]_r$ は秘密計算部13に入力される。秘密計算部13は、秘密分散値 $[f_t(x) - f'_t(x)]_r$ と秘密分散値 $[f'_t(x)]$ を用いた秘密計算によって関数 $f_t(x)$ の秘密分散値 $[f_t(x)]$ を得て出力する。すなわち、秘密計算部13は、秘密分散値 $[f_t(x) - f'_t(x)]$

50

] r と秘密分散値 $[f'_t(x)]$ を用いた加算の秘密計算によって、 $f_t(x)-f'_t(x)+f'_t(x)=f_t(x)$ の秘密分散値 $[f_t(x)]$ を得る(ステップS13)。

【0017】

制御部19は $t=n-1$ であるかを判定する(ステップS19b)。 $t=n-1$ でなければ、制御部19は $t+1$ を新たな t として処理をステップS11に戻す(ステップS19c)。一方、 $t=n-1$ であれば、秘密計算部13は秘密分散値 $[f_{n-1}(x)]$ を出力する(ステップS19d)。すなわち、秘密計算装置1は、 $t=0, \dots, n-2$ について、秘密計算部11~13のステップS11~S13の処理を実行するたびに、 $t+1$ を新たな t として、ステップS11~S13の処理を再び実行し、秘密分散値 $[f_{n-1}(x)]$ を得る。

【0018】

[第2実施形態]

図1に例示するように、第2実施形態の秘密計算装置2は、秘密計算部21, 22, 23、および制御部19を有する。第2実施形態の秘密計算装置2は、実数 x の秘密分散値 $[x]$ $[L, R)$ を入力とし、秘密計算を行って目的の関数 $f_{n-1}(x)$ の秘密分散値 $[f_{n-1}(x)]$ を出力する。第2実施形態では、 $n=3$ であり、 $a, b, c, d, f, g, h, i, j, k, s, m, n, o, p, q,$, , , , が実数であり、 $f_0(x)=y= x^2+ax$ であり、 $f_1(x)=z=y(y+b)+cx$ であり、 $f_2(x)=w= (z(z+d)+y(x+f)+gx)$ であり、 $f'_0(x)=ix+j$ であり、 $f'_1(x)=ky+sx+m$ であり、 $f'_2(x)=nz+oy+px+q$ である例を説明する。なお、近似関数 $f'_0(x)=ix+j$, $f'_1(x)=ky+sx+m$, $f'_2(x)=nz+oy+px+q$ の設定方法および具体例については後述する。

【0019】

図3に例示するように、まず秘密計算装置2の秘密計算部21に秘密分散値 $[x]$ が入力される(ステップS10)。

【0020】

秘密計算部21は、秘密分散値 $[x]$ を用いた積和演算の秘密計算によって秘密分散値 $[f_0(x)-f'_0(x)]=[y']=[x(x+a-i)-j]$ を得て出力する(ステップS21a)。

【0021】

秘密分散値 $[y']$ は秘密計算部22に入力される。秘密計算部22は、秘密分散値 $[y']$ を用いた秘密計算によって y' を所定ビット数だけ右シフトした y_r の秘密分散値 $[y_r]$ を得て出力する(ステップS22a)。

【0022】

秘密分散値 $[y_r]$ は秘密計算部23に入力される。秘密計算部23は、秘密分散値 $[y_r]$ と秘密分散値 $[f'_0(x)]=[ix+j]$ を用いた秘密計算によって秘密分散値 $[y]=[y_r+(ix+j)]$ を得て出力する(ステップS23a)。

【0023】

秘密分散値 $[y]$ は秘密計算部21に入力される。秘密計算部21は、秘密分散値 $[x]$ および秘密分散値 $[y]$ を用いた積和演算の秘密計算によって秘密分散値 $[f_1(x)-f'_1(x)]=[z']=[y(y+b-k)+(c-s)x-m]$ を得て出力する(ステップS21b)。

【0024】

秘密分散値 $[z']$ は秘密計算部22に入力される。秘密計算部22は、秘密分散値 $[z']$ を用いた秘密計算によって z' を所定ビット数だけ右シフトした z_r の秘密分散値 $[z_r]$ を得て出力する(ステップS22b)。

【0025】

秘密分散値 $[z_r]$ は秘密計算部23に入力される。秘密計算部23は、秘密分散値 $[z_r]$ と秘密分散値 $[f'_1(x)]=[ky+sx+m]$ を用いた秘密計算によって秘密分散値 $[z]=[z_r+(ky+sx+m)]$ を得て出力する(ステップS23b)。

【0026】

秘密分散値 $[z]$ は秘密計算部21に入力される。秘密計算部21は、秘密分散値 $[x]$ 、秘密分散値 $[y]$ 、および秘密分散値 $[z]$ を用いた積和演算の秘密計算によって秘密分散値 $[w'/]=[z(z+d-n/)+(x+f-o/)y+(g-p)x+(h-q)/]$ を得て出力する(ステップS21c)。

10

20

30

40

50

【 0 0 2 7 】

秘密分散値 $[w' /]$ は秘密計算部 2 2 に入力される。秘密計算部 2 2 は、秘密分散値 $[w' /]$ を用いた秘密計算によって $w' /$ に を乗算して得られる w' を所定ビット数だけ右シフトした w' の秘密分散値 $[w']$ を得て出力する (ステップ S 2 2 c)。秘密分散値 $[w']$ を得るための処理に限定は無いが、例えば、秘密計算部 2 2 は、公開値 $2 /$ を得、公開値 $2 /$ と秘密分散値 $[w' /]$ を用いた公開値除算の秘密計算 $[w' /] / (2)$ によって秘密分散値 $[w']$ を得てもよい。ただし、 は右シフト量を表す正整数である。これによって の乗算および右シフトの秘密計算を同時に実行できるため、処理コストを低減できる。

【 0 0 2 8 】

秘密分散値 $[w']$ は秘密計算部 2 3 に入力される。秘密計算部 2 3 は、秘密分散値 $[w']$ と秘密分散値 $[f'_2(x)] = [nz+oy+px+q]$ を用いた秘密計算によって秘密分散値 $[w] = [w' + (nz+oy+px+q)]$ を得て出力する。

【 0 0 2 9 】

< 近似関数の探索方法の例示 >

以下に右シフト前の近似関数の探索方法を例示する。

入力: 区間 $[L, R)$ 、関数 $y = x^2 + ax$, $z = y(y+b) + cx$, $w = (z(z+d) + y(x+f) + gx)$

設定済みパラメータ: 各離散係数 i, k, s, n, o, p の探索最小値 $i_{min}, k_{min}, s_{min}, n_{min}, o_{min}, p_{min}$ 、各離散係数 i, k, s, n, o, p の探索最大値 $i_{max}, k_{max}, s_{max}, n_{max}, o_{max}, p_{max}$

出力: y の近似関数 $ix+j$ 、 $y-(ix+j)$ の最大値 M_y 、 z の近似関数 $ky+sx+m$ 、 $z-(ky+sx+m)$ の最大値 M_z 、 w の近似関数 $nz+oy+px+q$ 、 $w-(nz+oy+px+q)$ の最大値 M_w

【 0 0 3 0 】

1: for $i=i_{min}$ to i_{max} do

2: $y-ix$ の区間 $[L, R)$ における最大値と最小値の差を計算する。

3: $y-ix$ の区間 $[L, R)$ における最大値と最小値の差が最も小さい i と、そのときの差 $y-ix$ の最小値 j 、差分 M_y ($(y-ix)$ の最大値) - ($y-ix$ の最小値)、言い換えると $y-ix$ の関数値の動く幅) を出力する。

4: for each $(k, s) \in \{k_{min}, \dots, k_{max}\} \times \{s_{min}, \dots, s_{max}\}$ do

5: $z-(ky+sx)$ の区間 $[L, R)$ における最大値と最小値の差を計算する。

6: $z-(ky+sx)$ の区間 $[L, R)$ における最大値と最小値の差が最も小さい (k, s) とそのとき差 $z-(ky+sx)$ の最小値 m 、差分 M_z ($(z-(ky+sx))$ の最大値) - ($z-(ky+sx)$ の最小値)、言い換えると $z-(ky+sx)$ の関数値の動く幅) を出力する。

7: for each $(n, o, p) \in \{n_{min}, \dots, n_{max}\} \times \{o_{min}, \dots, o_{max}\} \times \{p_{min}, \dots, p_{max}\}$ do

8: $z-(nz+oy+px)$ の区間 $[L, R)$ における最大値と最小値の差を計算する。

9: $z-(nz+oy+px)$ の区間 $[L, R)$ における最大値と最小値の差が最も小さい (n, o, p) とそのとき差 $z-(nz+oy+px)$ の最小値 q 、差分 M_w ($(z-(nz+oy+px))$ の最大値) - ($z-(nz+oy+px)$ の最小値)、言い換えると $z-(nz+oy+px)$ の関数値の動く幅) を出力する。

【 0 0 3 1 】

[第 3 実施形態]

第 3 実施形態に例示するように、第 3 実施形態の秘密計算装置 3 は、秘密計算部 3 1, 3 2, 3 3、および制御部 1 9 を有する。第 3 実施形態の秘密計算装置 3 は、実数 x の秘密分散値 $[x]$ ($[L, R)$) を入力とし、秘密計算を行って目的の関数 $f_{n-1}(x)$ の秘密分散値 $[f_{n-1}(x)]$ を出力する。第 3 実施形態では、 $n=2$ であり、 $a, b, c, , , i, j, k, s, m$ が実数であり、 $f_0(x) = y = x^2 + ax$ であり、 $f_1(x) = z = (y(y+b) + cx)$ であり、 $f'_0(x) = ix+j$ であり、 $f'_1(x) = ky+sx+m$ である例を説明する。

【 0 0 3 2 】

図 4 に例示するように、まず秘密計算装置 3 の秘密計算部 3 1 に秘密分散値 $[x]$ が入力される (ステップ S 1 0)。

【 0 0 3 3 】

秘密計算部 3 1 は、秘密分散値 $[x]$ を用いた積和演算の秘密計算によって秘密分散値 $[$

10

20

30

40

50

$f_0(x)-f'_0(x)]=[y']=[x(x+a-i)-j]$ を得て出力する(ステップS 2 1 a)。

【0034】

秘密分散値 $[y']$ は秘密計算部32に入力される。秘密計算部32は、秘密分散値 $[y']$ を用いた秘密計算によって y' を所定ビット数だけ右シフトした y'_r の秘密分散値 $[y'_r]$ を得て出力する(ステップS 2 2 a)。

【0035】

秘密分散値 $[y'_r]$ は秘密計算部33に入力される。秘密計算部33は、秘密分散値 $[y'_r]$ と秘密分散値 $[f'_0(x)]=[ix+j]$ を用いた秘密計算によって秘密分散値 $[y]=[y'+(ix+j)]$ を得て出力する(ステップS 2 3 a)。

【0036】

秘密分散値 $[y]$ は秘密計算部31に入力される。秘密計算部31は、秘密分散値 $[x]$ および秘密分散値 $[y]$ を用いた積和演算の秘密計算によって秘密分散値 $[z'/k]=[y(y+b-k/)+c-s)x-m/]$ を得て出力する(ステップS 3 1 c)。

【0037】

秘密分散値 $[z'/k]$ は秘密計算部32に入力される。秘密計算部32は、秘密分散値 $[z'/k]$ を用いた秘密計算によって z'/k に k を乗算して得られる z' を所定ビット数だけ右シフトした z'_r の秘密分散値 $[z'_r]$ を得て出力する(ステップS 3 2 b)。秘密分散値 $[z'_r]$ を得るための処理に限定は無いが、例えば、秘密計算部32は、公開値 2^k を得、公開値 2^k と秘密分散値 $[z'/k]$ を用いた公開値除算の秘密計算 $[z'/k]/(2^k)$ によって秘密分散値 $[z'_r]$ を得てもよい。これによって k の乗算および右シフトの秘密計算を同時に実行できるため、処理コストを低減できる。

【0038】

秘密分散値 $[z'_r]$ は秘密計算部33に入力される。秘密計算部33は、秘密分散値 $[z'_r]$ と秘密分散値 $[f'_1(x)]=[ky+sx+m]$ を用いた秘密計算によって秘密分散値 $[z]=[z'+(ky+sx+m)]$ を得て出力する(ステップS 3 3 b)。

【0039】

[各初等関数に関する計算済みのパラメータの例]

図5に関数 $f_{n-1}(x)$ が初等関数である逆数関数、平方根関数、平方根の逆数関数、指数関数、対数関数である場合の計算済みのパラメータを例示する。なお、 e_x, e_y, e_z はそれぞれ x, y, z の小数点位置を示す。また、 e'_x, e'_y, e'_z はそれぞれ右シフト前の x', y', z' の小数点位置を示す。これらの小数点位置は、下位ビットから数えた小数点位置のビット位置を表す。このビット位置を表す値は0から始まり、下位ビットから数えて $e-1$ ビット目が1を表すときに、小数点位置が $e-1$ であると表記する。

【0040】

[ハードウェア構成]

各実施形態における秘密計算装置1, 2, 3は、例えば、CPU (central processing unit) 等のプロセッサ(ハードウェア・プロセッサ)やRAM (random-access memory)・ROM (read-only memory) 等のメモリ等を備える汎用または専用のコンピュータが所定のプログラムを実行することで構成される装置である。このコンピュータは1個のプロセッサやメモリを備えていてもよいし、複数個のプロセッサやメモリを備えていてもよい。このプログラムはコンピュータにインストールされてもよいし、予めROM等に記録されていてもよい。また、CPUのようにプログラムが読み込まれることで機能構成を実現する電子回路(circuitry)ではなく、単独で処理機能を実現する電子回路を用いて一部またはすべての処理部が構成されてもよい。また、1個の装置を構成する電子回路が複数のCPUを含んでいてもよい。

【0041】

図6は、各実施形態における秘密計算装置1, 2, 3のハードウェア構成を例示したブロック図である。図6に例示するように、この例の秘密計算装置1, 2, 3は、CPU (Central Processing Unit) 10a、入力部10b、出力部10c、RAM (Random Access Memory) 10d、ROM (Read Only Memory) 10e、補助記憶装置10f

10

20

30

40

50

及びバス 10g を有している。この例の CPU 10a は、制御部 10aa、演算部 10ab 及びレジスタ 10ac を有し、レジスタ 10ac に読み込まれた各種プログラムに従って様々な演算処理を実行する。また、出力部 10c は、データが出力される出力端子、ディスプレイ等、所定のプログラムを読み込んだ CPU 10a によって制御される LAN カード等である。また、RAM 10d は、SRAM (Static Random Access Memory)、DRAM (Dynamic Random Access Memory) 等であり、所定のプログラムが格納されるプログラム領域 10da 及び各種データが格納されるデータ領域 10db を有している。また、補助記憶装置 10f は、例えば、ハードディスク、MO (Magneto-Optical disc)、半導体メモリ等であり、所定のプログラムが格納されるプログラム領域 10fa 及び各種データが格納されるデータ領域 10fb を有している。また、バス 10g は、CPU 10a、入力部 10b、出力部 10c、RAM 10d、ROM 10e 及び補助記憶装置 10f を、情報のやり取りが可能ないように接続する。CPU 10a は、読み込まれた OS (Operating System) プログラムに従い、補助記憶装置 10f のプログラム領域 10fa に格納されているプログラムを RAM 10d のプログラム領域 10da に書き込む。同様に CPU 10a は、補助記憶装置 10f のデータ領域 10fb に格納されている各種データを、RAM 10d のデータ領域 10db に書き込む。そして、このプログラムやデータが書き込まれた RAM 10d 上のアドレスが CPU 10a のレジスタ 10ac に格納される。CPU 10a の制御部 10ab は、レジスタ 10ac に格納されたこれらのアドレスを順次読み出し、読み出したアドレスが示す RAM 10d 上の領域からプログラムやデータを読み出し、そのプログラムが示す演算を演算部 10ab に順次実行させ、その演算結果をレジスタ 10ac に格納していく。このような構成により、秘密計算装置 1, 2, 3 の機能構成が実現される。

【0042】

上述のプログラムは、コンピュータで読み取り可能な記録媒体に記録しておくことができる。コンピュータで読み取り可能な記録媒体の例は非一時的な (non-transitory) 記録媒体である。このような記録媒体の例は、磁気記録装置、光ディスク、光磁気記録媒体、半導体メモリ等である。

【0043】

このプログラムの流通は、例えば、そのプログラムを記録した DVD、CD-ROM 等の可搬型記録媒体を販売、譲渡、貸与等することによって行う。さらに、このプログラムをサーバコンピュータの記憶装置に格納しておき、ネットワークを介して、サーバコンピュータから他のコンピュータにそのプログラムを転送することにより、このプログラムを流通させる構成としてもよい。上述のように、このようなプログラムを実行するコンピュータは、例えば、まず、可搬型記録媒体に記録されたプログラムもしくはサーバコンピュータから転送されたプログラムを、一旦、自己の記憶装置に格納する。そして、処理の実行時、このコンピュータは、自己の記憶装置に格納されたプログラムを読み取り、読み取ったプログラムに従った処理を実行する。また、このプログラムの別の実行形態として、コンピュータが可搬型記録媒体から直接プログラムを読み取り、そのプログラムに従った処理を実行することとしてもよく、さらに、このコンピュータにサーバコンピュータからプログラムが転送されるたびに、逐次、受け取ったプログラムに従った処理を実行することとしてもよい。また、サーバコンピュータから、このコンピュータへのプログラムの転送は行わず、その実行指示と結果取得のみによって処理機能を実現する、いわゆる ASP (Application Service Provider) 型のサービスによって、上述の処理を実行する構成としてもよい。なお、本形態におけるプログラムには、電子計算機による処理の用に供する情報であってプログラムに準ずるもの (コンピュータに対する直接の指令ではないがコンピュータの処理を規定する性質を有するデータ等) を含むものとする。

【0044】

各実施形態では、コンピュータ上で所定のプログラムを実行させることにより、本装置を構成することとしたが、これらの処理内容の少なくとも一部をハードウェア的に実現することとしてもよい。

10

20

30

40

50

【 0 0 4 5 】

< その他の変形例等 >

なお、本発明は上述の実施の形態に限定されるものではない。例えば、実施形態の秘密計算装置 1, 2, 3 は、実数 x の秘密分散値 $[x]$ を用いた秘密計算によって $f_t(x) - f'_t(x)$ の秘密分散値 $[f_t(x) - f'_t(x)]$ を得、秘密分散値 $[f_t(x) - f'_t(x)]$ を用いた秘密計算によって $f_t(x) - f'_t(x)$ を所定ビット数だけ右シフトした $(f_t(x) - f'_t(x))_r$ の秘密分散値 $[f_t(x) - f'_t(x)]_r$ を得、秘密分散値 $[f_t(x) - f'_t(x)]_r$ と秘密分散値 $[f'_t(x)]$ を用いた秘密計算によって関数 $f_t(x)$ の秘密分散値 $[f_t(x)]$ を得ていた。しかしながら、秘密分散値 $[f_t(x)]$ を得る前に秘密分散値 $[f_t(x) - f'_t(x)]_r$ が別の秘密計算に用いられてもよい。

【 0 0 4 6 】

上記の実施形態では、秘密計算部 1 1 が秘密分散値 $[x]$ を用いた積和演算の秘密計算によって秘密分散値 $[f_t(x) - f'_t(x)]$ を得ていたが、積和演算の秘密計算以外の秘密計算によって秘密分散値 $[f_t(x) - f'_t(x)]$ を得てもよい。

【 0 0 4 7 】

また、上述の各種の処理は、記載に従って時系列に実行されるのみならず、処理を実行する装置の処理能力あるいは必要に応じて並列的にあるいは個別に実行されてもよい。その他、本発明の趣旨を逸脱しない範囲で適宜変更が可能であることはいうまでもない。

【 産業上の利用可能性 】

【 0 0 4 8 】

本発明は、例えば、データを秘匿化しつつ秘密計算で行う機械学習やデータマイニングでの逆数関数、平方根関数、指数関数、対数関数などの初等関数の計算に利用できる。

【 符号の説明 】

【 0 0 4 9 】

1, 2, 3 秘密計算装置

1 1, 2 1, 3 1, 1 2, 2 2, 3 2, 1 3, 2 3, 3 3 秘密計算部

10

20

30

40

50

【図面】

【図 1】

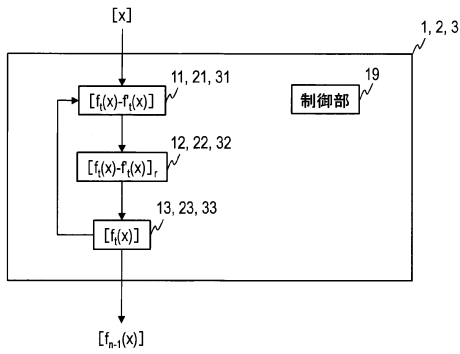
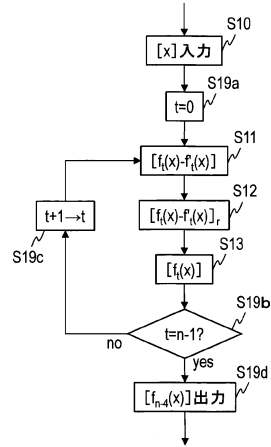


図 1

【図 2】



10

図 2

20

【図 3】

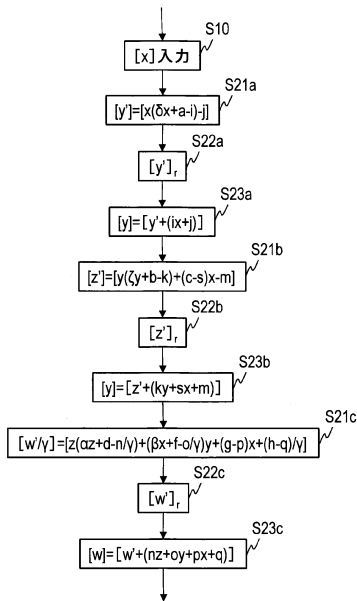


図 3

【図 4】

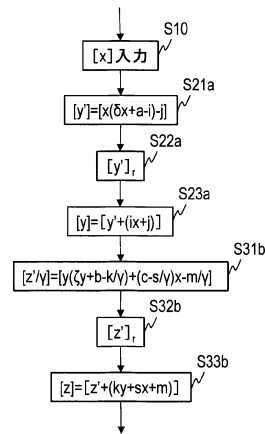


図 4

30

40

50

【図5】

パラメータ	進数	平方根	平方根の逆数	指数	対数
L	0.75	1	0.5	0	2
L	1.125	2	1	2	4
R	-2.11046439323928	-0.428141400291061	-1.696628553533	0.0150245363904133	-0.846696273121107
a	2.43496077969272	0.410120079876874	1.5495740937688	0.409852775324158	0.78470295133529
b	-0.184132172881249	-0.0110309584327484	-1.110156883654384	0.218572247867126	-0.035325966062005
c	9.8899387969575	-3.71795672639017	4.69745708853176	6.64826957208433	-3.0265081409583
d	1.8438132355315	-0.6437993662956	0.910418285014127	-0.7379807237752	-0.52268748474532
f	-2.07484418218256	0.44709763892185	-0.959053601554654	-0.586995576157224	0.378082178902487
g	9.79270035795559	0.232903741490693	3.9712905909928	1.0000000300262	-1.68755374217625
h	-1.11351498878271	-0.366610117286381	-0.523183544290677	-0.470402400606597	-1.4337891578344
i	0	0	0	0	0
j	0	0	0	0	0
k	1	0	0	1	0
s	0	0	-0.25	0	0
m	-0.56691514130653	-0.106711930503672	-0.503025809551099	0	-0.748724878178412
n	16	0	0	0	0
o	-4	0	0	0	0
p	2	0	0	0	0
q	11.2420887457771	0.765	-2.9712905909928	-0.105107110464577	2.38
α	2.6875	-14.25	3	3.875	-1.75
β	-0.90625	0.125	-0.5	0.4375	0.0625
γ ⁻¹	1.37871439910087	1.074207333657823	1.03163474573752	0.90198354150868	1.03306178244371
ζ	1	2 ⁻³	1	2 ⁻³	2 ⁻³
ex	28	28	28	28	27
ey	29	29	30	29	28
ez	29	29	30	29	28
ew	27	28	28	27	28
e'y	61	62	62	60	61
e'x	63	64	63	61	62
e'w	63	60	60	61	59

図5

【図6】

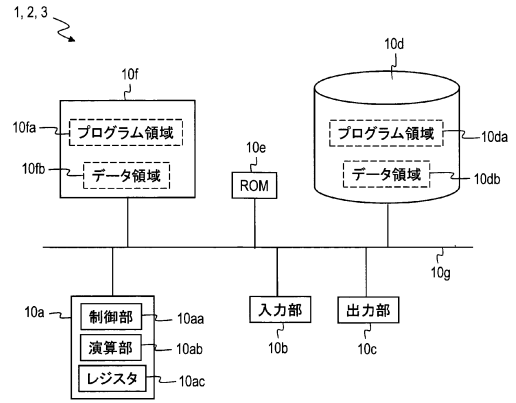


図6

10

20

30

40

50

フロントページの続き

- (56)参考文献 特表2020-525814(JP, A)
大畑 幸矢, 秘匿深層学習再考, 2018年 暗号と情報セキュリティシンポジウム(SCIS2018)予稿集 [USB], 日本, 2018年01月23日, 3F-1, p. 1-8
CATRINA, Octavian et al., Secure Computation With Fixed-Point Numbers, LNCS, Financial Cryptography and Data Security, Vol. 6052, ドイツ, Springer, 2010年, p. 35-50
五十嵐 大, 秘密計算上の理論最適な単精度関数近似法, 2020年 暗号と情報セキュリティシンポジウム, 日本, 2020年01月21日, 2C3-1, p. 1-8
天田 拓磨 ほか, 浮動小数点演算のための通信量を削減したマルチパーティ計算, 2018年 暗号と情報セキュリティシンポジウム(SCIS2018)予稿集 [USB], 日本, 2018年01月23日, 2A2-2, p. 1-8
三品 気吹 ほか, 高精度かつ高効率な秘密ロジスティック回帰の設計と実装, CSS2018 コンピュータセキュリティシンポジウム2018 論文集, 日本, 一般社団法人情報処理学会, 2018年10月25日, p. 1229-1236
- (58)調査した分野 (Int.Cl., DB名)
G09C 1/00
JSTPlus/JMEDPlus/JST7580(JDreamIII)
IEEE Xplore
THE ACM DIGITAL LIBRARY